

# ความแข็งแรงแบบยึดติดระหว่างเรซินซีเมนต์กับเซอร์โคเนียม เซรามิกส์ที่เตรียมพิวตัวยามกัลแอดเวชันฟิброเมอร์

## Adhesive Bond Strength between Resin Cements and Zirconia Ceramics with Metal Adhesive Primers

พนัสยา จตุรานันท์<sup>1</sup>, ภาวิศุทธิ์ แก่นจันทร์<sup>2</sup>, นภาร อัจฉริยะพิทักษ์<sup>2</sup>

<sup>1</sup>นักศึกษาวิทยาศาสตรมหาบัณฑิต คณะทันตแพทยศาสตร์ มหาวิทยาลัยเชียงใหม่

<sup>2</sup>ภาควิชาทันตกรรมมูรณะและปริอันด์วิทยา คณะทันตแพทยศาสตร์ มหาวิทยาลัยเชียงใหม่

Phanassaya Jaturanont<sup>1</sup>, Pavisuth Kanjantra<sup>2</sup>, Napaporn Adchariyapitak<sup>2</sup>

<sup>1</sup>Postgraduate Student in Master of Science Program, Faculty of Dentistry, Chiang Mai University

<sup>2</sup>Department of Restorative Dentistry and Periodontology, Faculty of Dentistry, Chiang Mai University

ช.m.ทันตส. 2554; 32(2) : 53-70

CM Dent J 2011; 32(2) : 53-70

### บทคัดย่อ

การศึกษานี้มีวัตถุประสงค์เพื่อเปรียบเทียบค่ากำลังแรงยึดเลือนระหว่างเรซินซีเมนต์ระบบเซลฟ์แอดไฮซีฟ (รีลีเอ็กซ์ยูร์ร้อย) และเรซินซีเมนต์ที่ใช้ร่วมกับสารยึดติดระบบเซลฟ์แอช (พานาเยียเฟฟสองจุดศูนย์) กับเซอร์โคเนียมเซรามิกส์ที่ปรับสภาพพื้นผิวด้วยเมทัลแอดไฮซีฟไฟโรเมอร์ 2 ชนิด (อลดรอยด์ไฟโรเมอร์และเมทัลเซอร์โคเนียมไฟโรเมอร์) หลังแขวน้ำ 24 ชั่วโมงและเทอร์โมไซคลิง การศึกษานี้ใช้ชนิดทดสอบเซอร์โคเนียมเซรามิกส์ขนาด 15x15x2 มม. จำนวน 120 ชิ้น แบ่งกลุ่มการทดลองโดยการสุ่มตามการเตรียมพื้นผิวเป็น 3 กลุ่ม กลุ่มละ 40 ชิ้น กลุ่มที่ 1 กลุ่มควบคุม (ไม่มีการเตรียมพื้นผิวใดๆ (NT) กลุ่มที่ 2 เตรียมพื้นผิวด้วยการทำ

### Abstract

The purpose of this study was to compare shear bond strength between self adhesive resin cement (Rely X™ U100) and resin cement with self-etch system (Panavia® F 2.0) to zirconia ceramics, treated with two metal adhesive primers (ALLOY PRIMER®, Metal/Zirconia Primer®) after water storage 24 hours and thermocycling. One hundred and twenty zirconia ceramic specimens (15x15x2 mm.) were used in this study, randomly divided into three groups of forty by type of surface treatment. Group 1 was a control group (no treatment-NT). Group 2 was

Corresponding Author:

ภาวิศุทธิ์ แก่นจันทร์

ผู้ช่วยศาสตราจารย์ ดร. ภาควิชาทันตกรรมมูรณะและปริอันด์วิทยา  
คณะทันตแพทยศาสตร์ มหาวิทยาลัยเชียงใหม่ เชียงใหม่ 50200

Pavisuth Kanjantra

Assistant Professor Dr., Department of Restorative Dentistry  
and Periodontology, Faculty of Dentistry,  
Chiang Mai University, Chiang Mai 50200, Thailand.  
Tel. 66-5394-4457 E-Mail: [dnrti002@chiangmai.ac.th](mailto:dnrti002@chiangmai.ac.th)

อัลลอยด์เพรเมอร์ (AP) กลุ่มที่ 3 เตรียมพื้นผิวด้วย เมทัลเซอร์โคเนียเพรเมอร์ (MZ) แต่ละกลุ่มแบ่งออก เป็น 2 กลุ่มย่อย กลุ่มละ 20 ชิ้น ยึดแท่นเรซินคอมโพสิต 2 แท่งบนชิ้นทดสอบเซอร์โคเนียเซรามิกส์ชิ้นละ 2 จุดเรียงตามแนวเส้นหอย่างมุมด้วยเรซินซีเมนต์ 2 ชนิด (รีไลเอ็กซ์ยูร์ร้อยและพานาเวียฟสองจุดศูนย์) แต่ละกลุ่มย่อยแบ่งออกเป็น 2 กลุ่ม กลุ่มละ 10 ชิ้น งาน (20 ชิ้นทดสอบ) ตามชนิดของการเก็บชิ้นทดสอบ กลุ่มแรกนำไปแขวนในน้ำกลั่นอุณหภูมิ 37 องศาเซลเซียส เป็นเวลา 24 ชั่วโมง กลุ่มที่ 2 นำไปเข้าเครื่องเทอร์โมไชคลิงจำนวน 1000 รอบที่น้ำอุณหภูมิ 5 และ 55 องศาเซลเซียส นำชิ้นงานไปทดสอบค่ากำลังแรงยึดเฉือน ด้วยเครื่องทดสอบสากลชนิดอินสตรอน ผลการศึกษาพบว่าเรซินซีเมนต์พานาเวียฟสองจุดศูนย์ให้ค่าเฉลี่ยกำลังแรงยึดเฉือนที่สูงกว่าเรซินซีเมนต์รีไลเอ็กซ์ยูร์ร้อยอย่างมีนัยสำคัญทางสถิติที่ระดับความเชื่อมั่นร้อยละ 99 การปรับสภาพพื้นผิวด้วยอัลลอยด์เพรเมอร์ ให้ค่าเฉลี่ยกำลังแรงยึดเฉือนที่สูงกว่าเมทัลเซอร์โคเนียเพรเมอร์และกลุ่มที่ไม่ได้ปรับสภาพพื้นผิวใดๆ อย่างมีนัยสำคัญทางสถิติที่ระดับความเชื่อมั่นร้อยละ 99 กลุ่มที่แขวน 24 ชั่วโมงมีค่าเฉลี่ยกำลังแรงยึดเฉือนที่สูงกว่ากลุ่มเทอร์โมไชคลิง อย่างมีนัยสำคัญทางสถิติที่ระดับความเชื่อมั่นร้อยละ 99 เซอร์โคเนียเซรามิกส์กลุ่มที่ไม่มีการเตรียมพื้นผิวใดๆ ให้ค่ากำลังแรงยึดเฉือนที่ต่ำสุดทั้งหลังแขวน 24 ชั่วโมงและเทอร์โมไชคลิง สรุปผลการศึกษาพบว่าค่ากำลังแรงยึดเฉือนของพานาเวียฟสองจุดศูนย์โดยทั่วไปดีกว่ารีไลเอ็กซ์ยูร์ร้อย การใช้เมทัลแอดไฮดีซีพีเพรเมอร์มีส่วนช่วยเพิ่มการยึดติดระหว่างเซอร์โคเนียเซรามิกส์กับเรซินซีเมนต์ ความชื้นและการเปลี่ยนแปลงอุณหภูมิมีผลทำให้ค่ากำลังแรงยึดเฉือนระหว่างเซอร์โคเนียเซรามิกส์กับเรซินซีเมนต์ลดลง

**คำสำคัญ :** เซอร์โคเนียเซรามิกส์ เรซินซีเมนต์ ค่ากำลังแรงยึดเฉือน

treated with ALLOY PRIMER®(AP), Group 3 with Metal/Zirconia Primer®(MZ). Each group was divided into two subgroups of twenty by type of resin cement (Rely X™ U100 and Panavia® F 2.0), luted two resin composite rods on a diagonal line of the zirconia ceramic specimens. Each group was then divided into two subgroups of ten (20 specimens) by storage type: either in water at 37°C for 24 hours or thermocycling for 1000 cycles at 5°C and 55°C. The shear bond strength of all test groups were tested by Instron® testing machine. The result of this study found that the mean of the shear bond strength of Panavia® F 2.0 was significantly higher than that of Rely X™ U100 ( $p<0.01$ ). The mean of the shear bond strength of the ALLOY PRIMER® treated surface group was significantly higher than those of the Metal/Zirconia Primer® and the control group ( $p<0.01$ ). The mean of the shear bond strength of the water storage group was significantly higher than that of the thermocycling group ( $p<0.01$ ). The bonding potential of each control group after water storage and thermocycling was the lowest. In conclusion, the shear bond strength of Panavia® F 2.0 seems better than Rely X™ U100. Metal adhesive primers seem to promote the shear bond strength between zirconia ceramics and resin cements. Aging condition such as thermocycling process decreases the shear bond strength between zirconia ceramics and resin cements.

**Keywords :** zirconia ceramics, resin cements, shear bond strength

## บทนำ

ปัจจุบันงานบูรณะทางทันตกรรมคำนึงถึงความสวยงามเพิ่มมากขึ้น โดยเลือกบูรณะด้วยครอบฟันเซรามิกล้วน (all-ceramic crowns) มากกว่าครอบฟันโลหะเคลือบกระเบื้อง (porcelain fused-to-metal crown) เพราะซึ่งงานบูรณะ (restorations) ที่ได้มีความสวยงามมากกว่า การบูรณะด้วยครอบฟันเซรามิกล้วนจะประสบความสำเร็จและสามารถใช้งานได้อย่างมีประสิทธิภาพ ขึ้นกับหลายปัจจัย เช่น ขั้นตอนการยึดซึ่งงานบูรณะเช่น มิกลั่วนติดกับพนหลักมักเกิดพื้นผิวที่ยึดติดกัน 2 ส่วน ส่วนแรกคือพื้นผิวของตัวพนกับเรซินซีเมนต์ (resin cements) อีกส่วนหนึ่งคือเรซินซีเมนต์กับพนที่มีหอยูปแบบและหอยประภากลและมีส่วนประกอบแตกต่างกันไป ถ้าแบ่งตามระบบการยึดติดแบ่งได้เป็น 3 กลุ่มใหญ่ ได้แก่ เรซินซีเมนต์ที่ใช้ร่วมกับสารยึดติดระบบโพหอลอเช (total-etch adhesive system) เช่น รีเลอคซ์เออร์ซี (Rely X<sup>TM</sup> ARC, 3M ESPE, USA) วาริโอลิงค์ทู (Variolink<sup>®</sup> II, Ivoclar Vivadent, Liechtenstein) เรซินซีเมนต์ที่ใช้ร่วมกับสารยึดติดระบบเซลฟ์เอช (self-etch adhesive system) เช่น พานาเวียเฟสสองจุดศูนย์ (Panavia<sup>®</sup> F 2.0, Kuraray, Japan) และเซลฟ์แอดไฮซีฟเรซินซีเมนต์ (self adhesive resin cements) เช่น รีเลอคซ์ยูร้อย (Rely X<sup>TM</sup> U100, 3M ESPE, USA) รีไลอคซ์ยูนิเชม (Rely X<sup>TM</sup> Unicem, 3M ESPE, USA) มัลติลิงค์สปริงท์ (Multilink<sup>®</sup> Sprint, Ivoclar Vivadent, Liechtenstein) แมกเซมอิลิต (MaxCem<sup>®</sup> Elite, Kerr, USA) ซึ่งเรซินซีเมนต์แต่ละชนิดให้ค่าแรงยึดติดกับเซรามิกส์ที่แตกต่างกัน<sup>(1-4)</sup> ก่อนการยึดซึ่งงานเซรามิกส์ด้วยเรซินซีเมนต์ต้องปรับสภาพพื้นผิว (surface treatment) ด้วยวิธีการต่างๆ ตามลักษณะของเซรามิกส์แต่ละชนิด โดยเซรามิกส์แบ่งได้เป็น 2 ประเภทใหญ่ๆ ตามความไวต่อการใช้กรดไฮdrofluoric acid) กัดพื้นผิว คือ ใช้กรดกัดได้ (acid sensitive) และต้านทานต่อการกัดด้วยกรด (acid resistance)<sup>(5-7)</sup> เซรามิกส์ที่ใช้กรดกัดได้ ได้แก่ glasse陶瓷 (glass ceramics) และglasson infiltration (glass infiltrated ceramics) มีงานวิจัยสนับสนุนการปรับ

สภาพพื้นผิวเซรามิกส์ชนิดกรดกัดได้ เพื่อให้เกิดพื้นผิวที่ขุ่นระดับด้วยกรดไฮdrofluoric acid กัดส่วนที่เป็นซิลิกา (silica) ออกบางส่วน ตามด้วยการทำไชเลน (silane) เพื่อให้เกิดการยึดติดทางเคมี (chemical bond) ให้ค่าแรงยึดติดที่สูงขึ้นอย่างมีนัยสำคัญ<sup>(7-10)</sup> แต่การปรับสภาพแบบเดียว กันนี้ไม่สามารถใช้ได้กับเซรามิกส์กลุ่มที่ต้านทานต่อการกัดด้วยกรด เช่น อลูมินาเซรามิกส์ (alumina ceramics) และเซอร์โคเนียเซรามิกส์ (zirconia ceramics) เนื่องจากอลูมินาเซรามิกส์และเซอร์โคเนียเซรามิกส์ไม่มีส่วนของซิลิกาเป็นองค์ประกอบ กรดไม่สามารถกัดพื้นผิวเซรามิกส์ได้และไม่เกิดการยึดติดทางเคมีกับไชเลน<sup>(11-13)</sup> ปัจจุบันมีการใช้เซอร์โคเนียเซรามิกส์เพิ่มมากขึ้น เนื่องจากมีความสวยงาม ไม่ทำอันตรายต่ออวัยวะบริทันต์ มีความเข้ากันได้กับเนื้อเยื่อ (biocompatibility) ส่งผ่านความร้อนเย็นได้น้อยกว่าครอบฟันโลหะ จึงลดการเกิดอาการเสียหายและการระคายเคืองต่อเนื้อเยื่อ石榴 ประสิทธิภาพจากการเปลี่ยนแปลงอุณหภูมิได้<sup>(14)</sup> มีความแข็งแรงและมีความต้านทานต่อการแตกหักสูง เนื่องจากมีคุณสมบัติที่รานฟ์ฟอร์เมชันทัฟเทนนิ่ง (transformation toughening)<sup>(15)</sup> จึงสามารถนำมาใช้เป็นครอบฟัน และฟันเทียมติดแน่นทั้งพนหน้าและพนหลังได้ มีงานวิจัยศึกษาเกี่ยวกับการปรับสภาพพื้นผิวของเซอร์โคเนียเซรามิกส์แบบต่างๆ เพื่อเพิ่มการยึดติด ได้แก่ การเป่าทราย (airborne particle abrasion, sandblasting)<sup>(16-18)</sup> การใช้ซิลิกาเคลือบทับบนผิวเซรามิกส์ (silica coating) ด้วยอุปกรณ์โรคาเทคโนโลยี (Rocatec<sup>®</sup>, 3M ESPE, USA) ตามด้วยทาไชเลน<sup>(3,6,19-21)</sup> ทำให้เพิ่มค่าแรงยึดติดสูงขึ้น อย่างมีนัยสำคัญ แต่ขบวนการเป่าทรายหรือใช้ซิลิกาเคลือบทับบนผิวเซรามิกส์ ทันตแพทย์ต้องสังขึ้นงานเซรามิกส์ให้ห้องปฏิบัติการทันตกรรมปรับสภาพพื้นผิว หรือ เสียค่าใช้จ่ายที่ค่อนข้างสูงเพื่อซื้ออุปกรณ์ข้าง外 อีกด้วย ดังนั้นผู้วิจัยต้องการศึกษาเกี่ยวกับการใช้เมทัลแอดไฮซีฟ-ไพรเมอร์ (metal adhesive primers) ที่มีราคาถูกและหาได้ง่าย ซึ่งเดินนำมามาใช้ปรับสภาพพื้นผิวที่มีส่วนประกอบของโลหะ องค์ประกอบของเมทัลแอดไฮซีฟไพรเมอร์ประกอบด้วย 2 ส่วนหลัก<sup>(22)</sup> คือ ส่วนเรซินโมโนเมอร์ (resin monomer) และตัวทำละลาย โดยเมทัลแอดไฮซีฟไพรเมอร์แต่ละชนิด แต่ละบริษัทมีกลุ่มทำงานที่

แตกต่างกันตามชนิดของเรซิโน่ไมโนเมอร์ที่ใช้ กลุ่มทำงานของเรซิโน่ไมโนเมอร์เปล่งออกได้เป็น 4 กลุ่มใหญ่ๆ ได้แก่

1. กลุ่มทำงานที่มีอนุพันธ์กรดคาร์บอคไซลิก (carboxylic acid derivative) กลุ่มนี้มีเรซิโน่ไมโนเมอร์ที่เป็นกลุ่มคาร์บอคไซล (carboxyl, -COOH) ยึดด้วยพันธะเคมีกับโลหะผสมพื้นฐาน (predominantly base alloy) ในรั้นออกไซด์ที่ผิวโลหะ<sup>(23)</sup>

2. กลุ่มทำงานที่มีอนุพันธ์กรดฟอฟอริก (phosphoric acid derivative) กลุ่มนี้มีเรซิโน่ไมโนเมอร์ที่เป็นกลุ่มฟอฟเฟต ยึดด้วยพันธะเคมีกับโลหะผสมพื้นฐานในรั้นออกไซด์ที่ผิวโลหะ

3. กลุ่มทำงานที่มีอนุพันธ์กลุ่มไฮโอล หรือ ไธอัล (thione or thiol group) กลุ่มนี้มีเรซิโน่ไมโนเมอร์ที่มีโครงสร้างเป็นไฮโอล (=S) สามารถเปลี่ยนเป็นไฮอัล (-SH)<sup>(24)</sup> ได้โดยไฮอัลสร้างพันธะทางเคมีกับอะตอมของโลหะผสมมีตระกูล (noble alloy) ได้ด้วยกลุ่มทำงานเมอร์แคปแทน (mercaptan functional group)

4. กลุ่มทำงานที่มีอนุพันธ์กรดไฮโอฟอริก (thiophosphoric acid derivative) กลุ่มนี้มีกลุ่มทำงาน 2 แบบรวมอยู่ในสายโครงสร้างเดียวกัน คือ กลุ่มเมอร์แคปแทนในการสร้างพันธะทางเคมีกับอะตอมของโลหะผสมมีตระกูล และกลุ่มฟอฟเฟตที่สร้างพันธะเคมีกับออกไซด์ของโลหะผสมพื้นฐาน

จากการศึกษาที่ผ่านมา มีการเปรียบเทียบค่าแรงยึดติดระหว่างการเตรียมผิวโลหะด้วยเมทัลแล็ดี้ชีฟไฟร์เมอร์ชั้นต่างๆ กับโลหะผสมพื้นฐาน<sup>(25)</sup> และโลหะผสมมีตระกูล<sup>(26,27)</sup> พบร่วมกันว่าการใช้เมทัลแล็ดี้ชีฟไฟร์เมอร์ให้ค่าแรงยึดติดสูงขึ้นอย่างมีนัยสำคัญ ดังนั้นจึงได้มีผู้ริเริ่มน้ำเมทัลแล็ดี้ชีฟไฟร์เมอร์มาใช้ในการเตรียมพื้นผิวของเซอร์โคเนียเซรามิกส์ เพื่อเพิ่มค่าแรงยึดติดระหว่างเซอร์โคเนียเซรามิกส์และเรซิโน่เมนต์ ดังการศึกษาของ Lindgren และคณะ<sup>(28)</sup> แต่การศึกษาวิจัยเกี่ยวกับการใช้เมทัลแล็ดี้ชีฟไฟร์เมอร์ในการปรับสภาพพื้นผิวเซอร์โคเนียเซรามิกส์นั้นมีอยู่และยังมีข้อถกเถียงกันอยู่ เนื่องจากบางการศึกษาให้ผลที่ดีในสภาวะที่แห้ง แต่บางการศึกษาได้กล่าวถึงปฏิกิริยาการเกิดไฮドรอไลติก (hydrolytic) ของเมทัลแล็ดี้ชีฟไฟร์เมอร์เมื่อนำไปแช่น้ำ<sup>(29-31)</sup> วัตถุประสงค์ของการศึกษารังนี้ เพื่อเปรียบเทียบค่า

กำลังแรงยึดเหนือ (shear bond strength, SBS) ระหว่างเรซิโน่เมนต์กับเซอร์โคเนียเซรามิกส์ที่ปรับสภาพผิวด้วยเมทัลแล็ดี้ชีฟไฟร์เมอร์ต่างชนิด เพื่อนำข้อมูลที่ได้ไปพิจารณาเลือกวิธีการปรับสภาพพื้นผิวเซอร์โคเนียเซรามิกส์ที่เหมาะสมที่สุด

## วัสดุอุปกรณ์และวิธีการ

ชิ้นเซอร์โคเนียเซรามิกส์โรบอแคม (Robocam, Warszawa, Germany) จากห้องปฏิบัติการทันตกรรมขนาด 15x15x2 มม. จำนวน 120 ชิ้น แบ่งชิ้นงานเป็น 3 กลุ่ม กลุ่มละ 40 ชิ้น ตามการเตรียมพื้นผิว กลุ่มที่ 1 กลุ่มควบคุม (control) ไม่มีการเตรียมพื้นผิวใดๆ (NT) กลุ่มที่ 2 ทาอัลลอยด์ไฟร์เมอร์ (ALLOY PRIMER® (AP), Kuraray, Japan) กลุ่มที่ 3 ทาเมทัลเซอร์โคเนียไฟร์เมอร์ (Metal/Zirconia Primer®(MZ), Ivoclar Vivadent, Liechtenstein) แต่ละกลุ่มแบ่งออกเป็นกลุ่มป่อย 2 กลุ่ม กลุ่มละ 20 ชิ้น ตามชนิดของเรซิโน่เมนต์ที่ใช้ยึดแห่งเรซิโน่คอมโพสิตขนาดเส้นผ่าศูนย์กลาง 3 มม. สูง 2 มม. 2 จุด ที่สร้างโดยใช้แบบหล่อโลหะไร้สนิม (stainless steel mold) ฐานเรียบ เรซิโน่เมนต์ที่ใช้ได้แก่ รีลีโคชูร์ร้อย และพานาเรียล็อกฟ่องจุดศูนย์ โดยยึดเรียงชิ้นทดสอบ 2 แห่งตามแนวเส้นทแยงมุมห่างกัน 3 มม. ดังรูปที่ 1

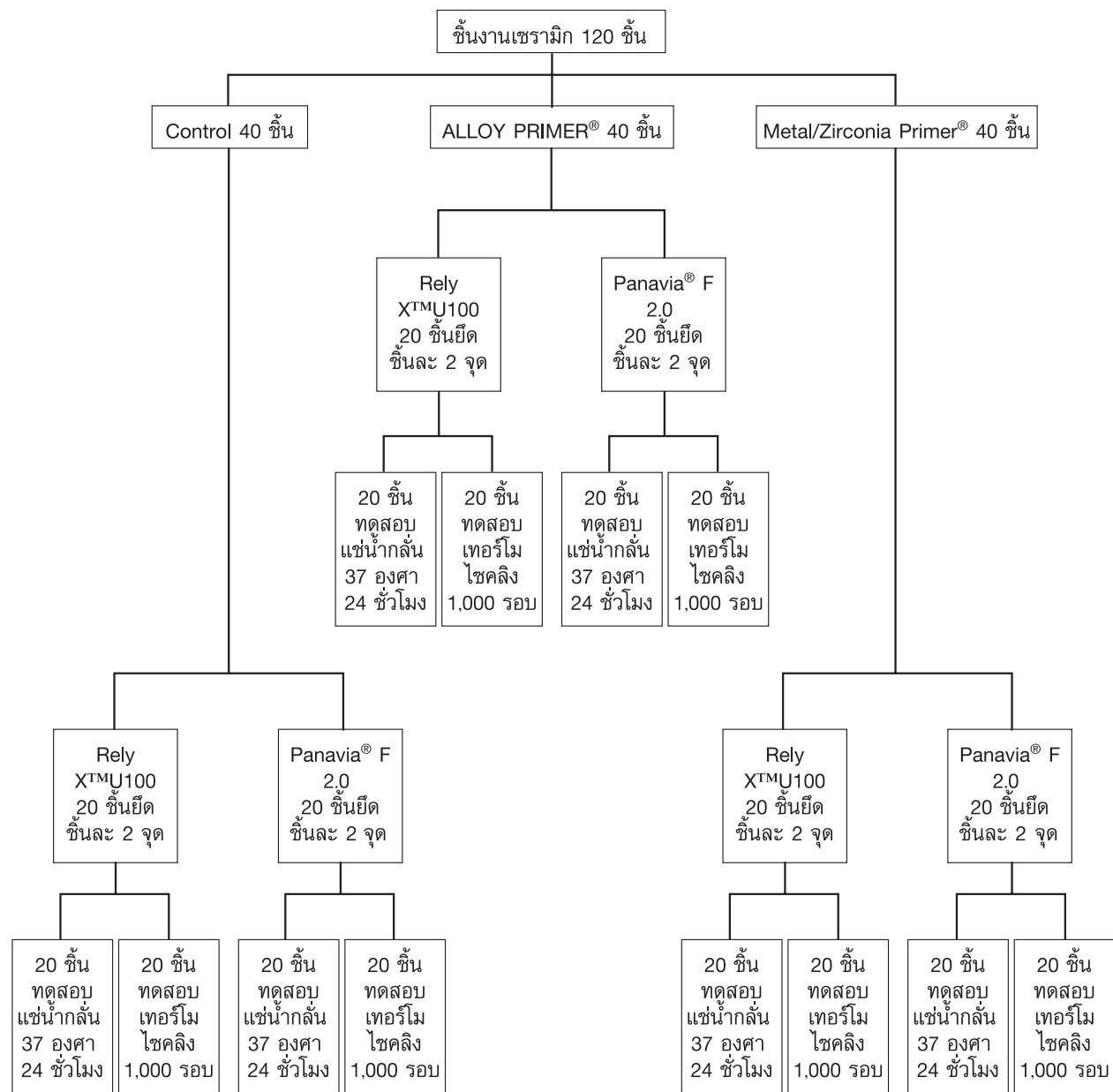


รูปที่ 1 การยึดติดแห่งเรซิโน่คอมโพสิต 2 แห่งตามแนวเส้นทแยงมุมของชิ้นทดสอบเซอร์โคเนียเซรามิกส์

**Figure 1** Resin cement luted with two resin composite rods on a diagonal line of the zirconia ceramic specimens

ข่ายแสดงด้วยเครื่องข่ายแสดงบลูเพส (Bluephase, Ivoclar Vivadent, Liechtenstein) ด้านละ 20 วินาทีได้รับงานที่

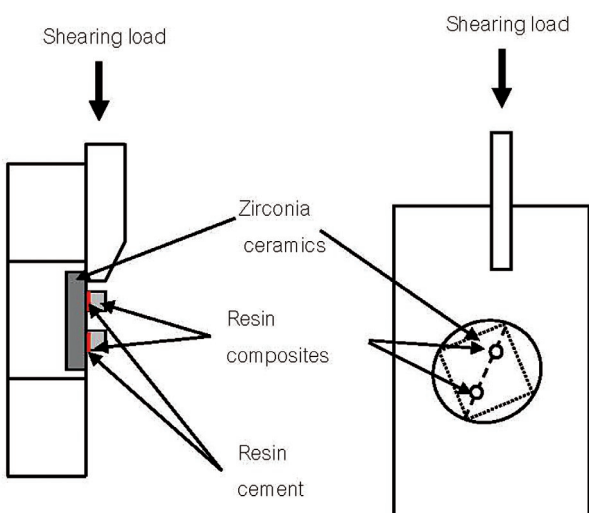
จะนำไปทดสอบค่ากำลังแรงยึดเหนือ จำนวน 240 ชิ้น งาน ( $n=240$ ) ดังแผนภาพรูปที่ 2



**รูปที่ 2** แผนผังการแบ่งกลุ่มชิ้นงานเซรามิกตามชนิดการเตรียมพื้นผิวและชนิดเรซินซีเมนต์

**Figure 2** Diagram of test groups

นำชิ้นงานไปทดสอบค่ากำลังแรงยึดเนื่องด้วยเครื่องทดสอบสากลชนิดอินสตรอน (Instron® Universal Testing Machine, Instron 5560 Series, U.S.A.) หัวกดด้วยแรง 50 นิวตัน ความเร็วของหัวกดเท่ากับ 0.5 มม./นาที วางแผนชิ้นงานให้หัวกดชิ้นทดสอบที่ลักษณะในตำแหน่งดังรูปที่ 3 บันทึกค่ากำลังแรงยึดเนื่องที่ทำให้เรซินซีเมนต์หลุดออกจากเซรามิกส์เป็นหน่วยเมกะปาสกาล ( $\text{Newton}/\text{mm}^2 = \text{MPa}$ )



รูปที่ 3 แผนภูมิแสดงการทดสอบกำลังแรงยึดเนื่องบนชิ้นทดสอบ

*Figure 3 Diagram of shear bond strength test on specimen*

นำชิ้นทดสอบที่ผ่านการกดแรงเนื้องไปส่องด้วยกล้อง stereomicroscope (stereomicroscope, Olympus, UK) เพื่อตรวจสอบลักษณะการหลุดของเรซินซีเมนต์กับพื้นผิวเซอร์โคเนียเซรามิกส์ เป็นแบบแอดไฮซีฟ (adhesive failure) โคลาจีฟ (cohesive failure) หรือรวมกันทั้งสองแบบ (mixed failure) และศึกษาลักษณะพื้นผิวของเซอร์โคเนียเซรามิกส์ที่เตรียมพื้นผิวแบบต่างๆ หลังจากเรซินซีเมนต์หลุดออกจากเซรามิกส์ด้วยการสูญเสียทดสอบแต่ละกลุ่มโดยการตรวจด้วยกล้องจุลทรรศน์อิเล็กตรอนแบบส่องการดู (Scanning Electron Microscope : SEM, JEOL JSM-5910LV SEM, Tokyo, Japan)

นำค่ากำลังแรงเนื้องที่ได้มาวิเคราะห์ข้อมูลทางสถิติด้วยการจำแนกความแปรปรวนแบบสามทาง (Three-Way ANOVA) ที่ระดับความเชื่อมั่น 99% ( $P<0.01$ ) เพื่อเปรียบเทียบค่ากำลังแรงยึดเนื่องระหว่างเรซินซีเมนต์ระบบเซลฟ์แอดไฮซีฟเรซินซีเมนต์และเรซินซีเมนต์ที่ใช้วั่นกับสารยึดติดระบบเซลฟ์เอกสาร์โคเนียเซรามิกส์ที่ปรับสภาพพื้นผิวโดยใช้เมทัลแอดไฮซีฟไพรเมอร์ที่แตกต่างกัน 2 ชนิด หลังแขวน้ำ 24 ชั่วโมงแล้วหลังขบวนการเทอร์โมไซคอลิงว่ามีความแตกต่างกันหรือไม่ เปรียบเทียบความแตกต่างของค่าเฉลี่ยระหว่างกลุ่ม (Multiple comparisons) ด้วยการเปรียบเทียบเชิงช้อนชนิดทุกคู่ (Tukey Multiple Comparison Test)

## ผลการศึกษา

### การทดสอบค่ากำลังแรงยึดเนื่อง

ค่าเฉลี่ยกำลังแรงยึดเนื่องของกลุ่มทดลองทั้ง 12 กลุ่มและค่าเบี่ยงเบนมาตรฐานดังแสดงในตารางที่ 1 โดยค่าสูงสุดที่ได้คือ เซอร์โคเนียเซรามิกส์กลุ่มที่มีการเตรียมพื้นผิวด้วยเมทัลแอดไฮซีฟไพรเมอร์ชนิดอัลลอยด์ไพรเมอร์ยึดตัวเรซินซีเมนต์พานาเรียเฟสสองจุดศูนย์แขวน้ำ 24 ชั่วโมง ( $20.20 \pm 1.38 \text{ MPa}$ ) ค่าต่ำสุดที่ได้คือ กลุ่มที่ไม่มีการเตรียมพื้นผิวใดๆ ยึดตัวเรซินซีเมนต์รีไลเอกซ์ยูร้อยหลังเทอร์โมไซคอลิง ( $4.67 \pm 0.73 \text{ MPa}$ )

จากการทดสอบค่ากำลังแรงยึดเนื่องนำวิเคราะห์ทางสถิติ Three-Way ANOVA ดังตารางที่ 2 ที่ระดับความเชื่อมั่นร้อยละ 99 ( $p<0.01$ ) เนื่องจากค่ากำลังแรงยึดเนื่องที่ได้มีค่าใกล้เคียงกัน พบว่าชนิดของเรซินซีเมนต์ การปรับสภาพพื้นผิวเซอร์โคเนียเซรามิกส์แบบต่างๆ ความชื้นและการเปลี่ยนแปลงอุณหภูมิ ล้วนเป็นปัจจัยที่ส่งผลต่อค่ากำลังแรงยึดเนื่อง

การเปรียบเทียบเชิงช้อนชนิดทุกคู่ระหว่างค่าเฉลี่ยกำลังแรงเนื้องของแต่ละกลุ่มทดลองดังตารางที่ 3-5 พบว่าเรซินซีเมนต์พานาเรียเฟสสองจุดศูนย์ให้ค่าเฉลี่ยกำลังแรงยึดเนื่อง ( $11.65 \text{ เมกะปาสกาล}$ ) ที่สูงกว่าเรซินซีเมนต์รีไลเอกซ์ยูร้อย ( $10.92 \text{ เมกะปาสกาล}$ ) อย่างมีนัยสำคัญทางสถิติ ( $p<0.01$ ) ค่าเฉลี่ยกำลังแรงยึดเนื่องของการปรับสภาพพื้นผิวเซอร์โคเนียเซรามิกส์ด้วยเมทัลแอดไฮซีฟไพรเมอร์ชนิดอัลลอยด์ไพรเมอร์มีค่าสูงสุด คือเท่ากับ

**ตารางที่ 1** ค่าเฉลี่ยและค่าเบี่ยงเบนมาตรฐานของกำลังแรงยึดเหนือกลุ่มทดลอง 12 กลุ่ม

**Table 1** Means and standard deviations of shear bond strength of 12 groups

เรซิโน่เม้นต์	การเตรียมพื้นผิว	ค่าเฉลี่ยกำลังแรงยึดเหนือ (MPa)	
		แซ่น้ำ 24 ชั่วโมง	เทอร์โมไซคลิง 1,000 รอบ
Panavia F 2.0	NT	9.65 <sup>E</sup> ± 1.60	6.15 <sup>G</sup> ± 1.52
Panavia F 2.0	AP	20.20 <sup>A</sup> ± 1.38	12.16 <sup>D</sup> ± 1.55
Panavia F 2.0	MZ	12.52 <sup>D</sup> ± 1.52	9.19 <sup>E</sup> ± 0.87
Rely X U100	NT	6.75 <sup>G</sup> ± 0.79	4.67 <sup>H</sup> ± 0.73
Rely X U100	AP	18.52 <sup>B</sup> ± 1.55	11.88 <sup>D</sup> ± 1.18
Rely X U100	MZ	16.26 <sup>C</sup> ± 1.09	7.44 <sup>F</sup> ± 1.48

Values are means ±standard deviations. Group with the same upper case superscripts are not significantly different ( $p<0.01$ )

**ตารางที่ 2** การทดสอบความแตกต่างค่าเฉลี่ยกำลังแรงยึดเหนือทางสถิติของปัจจัยต่างๆ

**Table 2** Statistic test between mean shear bond strength of each factor

Source of Variance	Sum of Squares Error	df	Mean Square Error	F	Sig.
Corrected Model	5431.331	11	493.757	287.585	0.000
Intercept	30552.319	1	30552.319	17794.939	0.000
Surface_treatment	3157.764	2	1578.882	919.606	0.000
Resin_cement	31.680	1	31.680	18.452	0.000
TC	1748.338	1	1748.338	1018.304	0.000
Surface_treatment * resin_cement	102.889	2	51.445	29.964	0.000
Surface_treatment * TC	220.233	2	110.117	64.136	0.000
Resin_cement * TC	11.773	1	11.773	6.857	0.009
Surface_treatment *					
Resin_cement * TC	158.653	2	79.326	46.203	0.000
Error	391.456	228	1.717		
Total	36375.105	240			
Corrected Total	5822.786	239			

15.65 เมกะปาสคอล รองลงมา คือ ปรับสภาพพื้นผิวด้วย เมทัลแอดไฮด์ฟิไฟร์เมอร์ชนิดเมทัลเซอร์โคเนียไฟร์เมอร์คือ เท่ากับ 11.35 เมกะปาสคอล และกลุ่มที่ไม่ได้ปรับสภาพ พื้นผิวใดๆ ให้ค่าเฉลี่ยกำลังแรงยึดต่ำสุดคือเท่ากับ 6.81 เมกะปาสคอล โดยค่าเฉลี่ยกำลังแรงยึดเหนือของทั้ง 3 กลุ่มแตกต่างกันอย่างมีนัยสำคัญทางสถิติ ( $p<0.01$ ) กลุ่มที่ผ่านการเทอร์โมไซคลิงมีค่าเฉลี่ยกำลังแรงยึดเหนือ

ที่ต่ำกว่ากลุ่มที่แซ่น้ำ 24 ชั่วโมง คือ 8.58 เมกะปาสคอล และ 13.99 เมกะปาสคอล ตามลำดับ กลุ่มแซ่น้ำให้ค่าเฉลี่ยกำลังแรงยึดเหนือมากกว่ากลุ่มที่ผ่านการเทอร์โมไซคลิงอย่างมีนัยสำคัญทางสถิติ ( $p<0.01$ )

ขั้นตอนทดสอบที่ผ่านการกดแรงเขื่อนแล้วนำไปส่องด้วย กล้องสเตอโรไโน์โคโรสโคปเพื่อตรวจ ดูลักษณะการหลุด ของเรซิโน่เม้นต์กับพื้นผิวเซอร์โคเนียเซรามิกส์ได้ผล

**ตารางที่ 3** แสดงการทดสอบความแตกต่างเป็นรายคู่ของปั๊จจัยเรซินซีเมนต์

*Table 3 Show the mean difference of resin cements factor*

(I) Resin cement (MPa)	(J) Resin cement (MPa)	Mean Difference (I-J)	SE.	Sig.	95% Confidence Interval for Difference	
					Lower Bound	Upper Bound
Panavia F 2.0 11.65	Rely X U100 10.92	0.73	0.169	0.000	0.393	1.060

**ตารางที่ 4** แสดงการทดสอบความแตกต่างเป็นรายคู่ของปั๊จจัยการเตรียมพื้นผิว

*Table 4 Show the mean difference of surface treatment factor*

(I) Surface treatment (MPa)	(J) Surface Treatment (MPa)	Mean Difference (I-J)	SE.	Sig.	95% Confidence Interval for Difference	
					Lower Bound	Upper Bound
AP 15.65	NT 6.81	8.84	0.207	0.000	8.476	9.292
MZ 11.35	MZ 11.35	4.30	0.207	0.000	3.927	4.744
MZ 11.35	NT 6.81	4.54	0.207	0.000	4.140	4.957

**ตารางที่ 5** แสดงการทดสอบความแตกต่างเป็นรายคู่ของปั๊จจัยการแข็ง化และเทอร์โมไซค์ลิ่ง

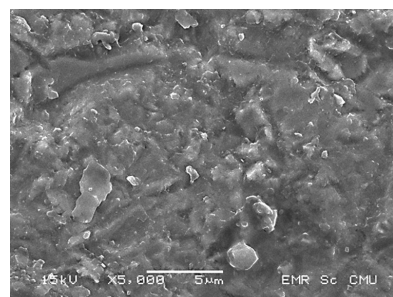
*Table 5 Show the mean difference of water storage and thermocycling*

(I) Water storage 24 hrs. (MPa)	(J) Thermo- cycling (MPa)	Mean Difference (I-J)	SE.	Sig.	95% Confidence Interval for Difference	
					Lower Bound	Upper Bound
13.99	8.58	5.41	0.169	0.000	5.065	5.731

ดังตารางที่ 6 ส่วนมากเป็นการหลุดแบบแอดไฮดรอฟ และไม่มีกลุ่มใดเป็นโคลอฟิลเลย

#### ผลการส่องกล้องจุลทรรศน์อิเล็กตรอนแบบส่องกราด ส่องกราด

ภาพจากกล้องจุลทรรศน์อิเล็กตรอนแบบส่องกราด แสดงพื้นผิวของเซอร์โคเนียเซรามิกส์ที่เตรียมพื้นผิวแบบต่างๆ หลังจากเรซินซีเมนต์หลุดออกจากเซรามิกส์หลังแข็ง化 24 ชั่วโมง แสดงดังรูปที่ 4-9 ที่ขนาดกำลังขยาย 5000 เท่า



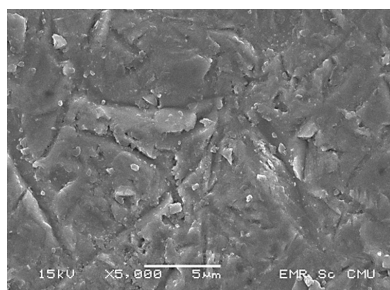
รูปที่ 4 กลุ่มที่ไม่ได้เตรียมพื้นผิวใดๆ ยึดด้วยเรซินซีเมนต์ พานาเวียฟส่องจุลทรรศน์

*Figure 4 Non treatment surface group luted with Panavia® F 2.0*

**ตารางที่ 6** แสดงเปอร์เซ็นต์ของลักษณะการหลุดหลังการทดสอบแรงเฉือน

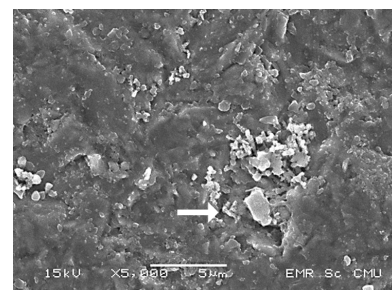
**Table 6** Show the percentage of failure mode after shear testing

		Percentage of failure mode after shear testing					
Test groups	Failure Mode	Adhesive		Cohesive		Mixed	
		หลังแซ่น้ำ 24 ชั่วโมง	หลังเทอร์โม ไซคลิง 1,000 รอบ	หลังแซ่น้ำ 24 ชั่วโมง	หลังเทอร์โม ไซคลิง 1,000 รอบ	หลังแซ่น้ำ 24 ชั่วโมง	หลังเทอร์โม ไซคลิง 1,000 รอบ
Panavia F 2.0 NT	100%	100%					
Panavia F 2.0 AP	75%	50%			25%	50%	
Panavia F 2.0 MZ	85%	35%			15%	65%	
Rely X U100 NT	100%						
Rely X U100 AP	65%	50%			35%	50%	
Rely X U100 MZ	80%	40%			20%	60%	



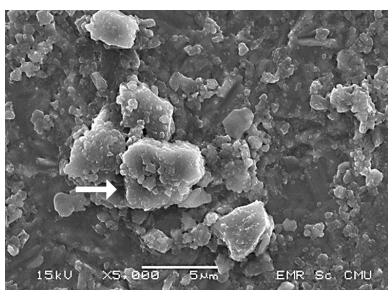
**รูปที่ 5** กลุ่มที่ไม่ได้เตรียมพื้นผิวใดๆ ยึดด้วยเรซินซีเมนต์ รีลีโอลอกซ์ร้อย

**Figure 5** Non treatment surface group luted with Rely X<sup>TM</sup>U100



**รูปที่ 6** กลุ่มที่เตรียมพื้นผิวด้วยอัลลอยด์เพรเมอร์ยึดด้วย เรซินซีเมนต์พานาเวียเฟลสองจุดคูนย์ (ลูกศรชี้ เรซินซีเมนต์ที่หลงเหลืออยู่บนพื้นผิวเซอร์โคเนียม เชรามิกหลังการทดสอบ)

**Figure 6** Zirconia ceramics specimen treated with ALLOY PRIMER<sup>®</sup> and luted with Panavia<sup>®</sup> F 2.0 (Arrow points at remaining cements on zirconia ceramic surface after shear test.)



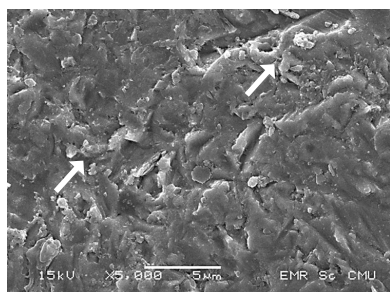
**รูปที่ 7** กลุ่มที่เตรียมพื้นผิวด้วยอัลลอยด์ไพรเมอร์ยึดด้วยเรซินซีเมนต์รีลีเอกซ์รูว์อย (ลูกครึ้งซีเรซินซีเมนต์ที่หลังเหลืออยู่บนพื้นผิวเชอร์โคเนียเซรามิกส์หลังการทดสอบ)

**Figure 7** Zirconia ceramic specimen treated with ALLOY PRIMER® and luted with Rely X™ U100. (Arrow points at remaining cements on zirconia ceramic surface after shear test.)



**รูปที่ 9** กลุ่มที่เตรียมพื้นผิวเชอร์โคเนียเซรามิกส์ด้วยเมทัลเชอร์โคเนียไพรเมอร์ยึดด้วยเรซินซีเมนต์รีลีเอกซ์รูว์อย (ลูกครึ้งซีเรซินซีเมนต์ที่หลังเหลืออยู่บนพื้นผิวเชอร์โคเนียเซรามิกส์หลังการทดสอบ)

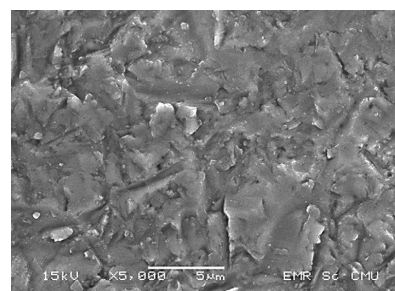
**Figure 9** Zirconia ceramic specimen treated with Metal/Zirconia Primer® and luted with Rely X™ U100. (Arrows point at remaining cements on zirconia ceramic surface after shear test.)



**รูปที่ 8** กลุ่มที่เตรียมพื้นผิวเชอร์โคเนียเซรามิกส์ด้วยเมทัลเชอร์โคเนียไพรเมอร์ยึดด้วยเรซินซีเมนต์พานาเวียเฟลสองจุดคูนย์ (ลูกครึ้งซีเรซินซีเมนต์ที่หลังเหลืออยู่บนพื้นผิวเชอร์โคเนียเซรามิกส์หลังการทดสอบ)

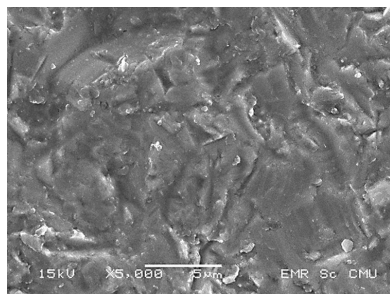
**Figure 8** Zirconia ceramic specimen treated with Metal/Zirconia Primer® and luted with Panavia® F 2.0. (Arrows point at remaining cements on zirconia ceramic surface after shear test.)

ภาพพื้นผิวเชอร์โคเนียเซรามิกส์ที่เตรียมพื้นผิวแบบต่างๆ หลังจากเรซินซีเมนต์หลุดออกจากเซรามิกส์หลังเทอร์โมไซคลิง 1000 รอบ แสดงดังรูปที่ 10-15 ที่ขนาดกำลังขยาย 5000 เท่า

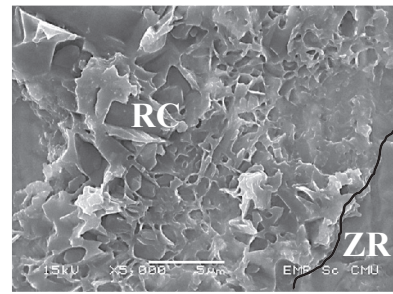


**รูปที่ 10** กลุ่มที่ไม่ได้เตรียมพื้นผิวใดๆ ยึดด้วยเรซินซีเมนต์พานาเวียเฟลสองจุดคูนย์ หลังผ่านการเทอร์โมไซคลิง

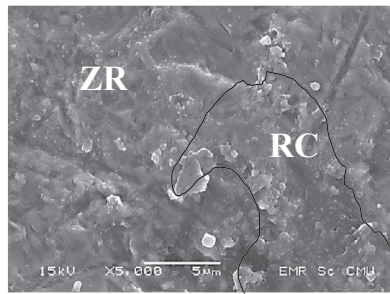
**Figure 10** Non treatment surface group luted with Panavia® F 2.0 after thermocycling.



**รูปที่ 11** กลุ่มที่ไม่ได้เตรียมพื้นผิวใดๆ ยึดด้วยเรซินซีเมนต์รีลีเลอกซ์ร้อย หลังผ่านการเทอร์โมไชคลิง  
**Figure 11** Non treatment surface group luted with *Rely X<sup>TM</sup> U100* after *thermocycling*.

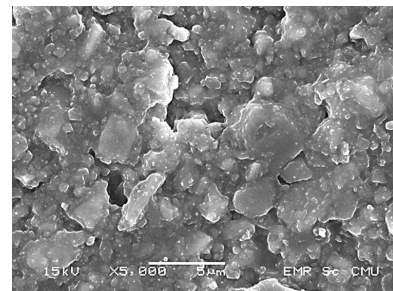


**รูปที่ 13** กลุ่มที่เตรียมพื้นผิวเซอร์โคเนียเซรามิกส์ด้วย อัลลอยด์ไพรเมอร์ยึดด้วยเรซินซีเมนต์รีลีเลอกซ์ร้อย หลังผ่านการเทอร์โมไชคลิง (*ZR* = พื้นผิวเซอร์โคเนีย, *RC* = เรซินซีเมนต์ที่หลงเหลืออยู่หลังการทดสอบ)



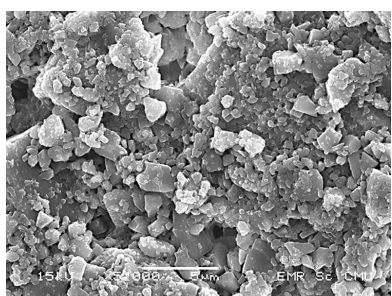
**รูปที่ 12** กลุ่มที่เตรียมพื้นผิวเซอร์โคเนียเซรามิกส์ด้วย อัลลอยด์ไพรเมอร์ยึดด้วยเรซินซีเมนต์พาโน-เวียอฟสองจุดคูนย์ หลังผ่านการเทอร์โมไชคลิง (*ZR* = พื้นผิวเซอร์โคเนีย, *RC* = เรซินซีเมนต์ที่หลงเหลืออยู่หลังการทดสอบ)

**Figure 12** Zirconia ceramic specimen treated with *ALLOY PRIMER<sup>®</sup>* and luted with *Panavia<sup>®</sup> F 2.0* after *thermocycling*. (*ZR* = zirconia ceramic surface, *RC* = remaining resin cements after shear test.)



**รูปที่ 14** กลุ่มที่เตรียมพื้นผิวเซอร์โคเนียเซรามิกส์ด้วย เมทัลแอร์ดี้ซีพีไพร์เมอร์ชนิดเมทัลเซอร์โคเนีย ไพรเมอร์ยึดด้วยเรซินซีเมนต์พาโน-เวียอฟสองจุดคูนย์ หลังผ่านการเทอร์โมไชคลิง พบรักษาณะของเรซินซีเมนต์ที่ครอบคลุมพื้นผิวเซอร์โคเนียเซรามิกส์

**Figure 14** Zirconia ceramic specimen treated with *Metal/Zirconia Primer<sup>®</sup>* and luted with *Panavia<sup>®</sup> F 2.0* after *thermocycling*, remaining resin cement found on zirconia ceramic surface.



**รูปที่ 15** กลุ่มที่ terrestrial พื้นผิวเซอร์โคเนียเซรามิกส์ด้วย เมทัลเซอร์โคเนียไพร์เมอร์โดยด้วยเรซินซีเมนต์รีลีย์โลเก็กซ์ยูร้อย หลังผ่านการเทอร์โมไชคลิง พบรักษาของเรซินซีเมนต์ที่ครอบคลุมพื้นผิวเซอร์โคเนียเซรามิกส์

**Figure 15** Zirconia ceramic specimen treated with Metal/Zirconia Primer® and luted with Rely X™ U100 after thermo-cycling, remaining resin cement found on zirconia ceramic surface.

## บทวิจารณ์

การยึดติดครอบพื้นเซอร์โคเนียเซรามิกส์กับตัวพื้นหลักด้วยเรซินซีเมนต์ ให้ผลที่ดีกว่าซีเมนต์ทั่วไปหลายประการ เช่น ทำให้เกิดความแนบของขอบ ป้องกันการรั่วซึมตามขอบ (microleakage) และเพิ่มการยึดอยู่ (retention) ของครอบพื้นได้<sup>(1,32,33)</sup> การใช้เรซินซีเมนต์ชนิดไดเมทاكรัลเตตซีเมนต์พากบิสจีเอ็มเอ ที่ไม่มีกลุ่มทำงานพอกฟอสเฟตโมโนเมอร์กับเซอร์โคเนียเซรามิกส์นั้น ให้ค่าเฉลี่ยแรงยึดเฉือนที่ค่อนข้างต่ำเมื่อเทียบกับใช้เรซินซีเมนต์ที่มีกลุ่มทำงานฟอสเฟตโมโนเมอร์ และเมื่อผ่านการเทอร์โมไชคลิงมักเกิดการหลุดของซีเมนต์ก่อนนำไปทดสอบเป็นส่วนมาก<sup>(16)</sup> มีหลายการศึกษาที่แนะนำให้เปาทรายและใช้เรซินซีเมนต์ที่มีกลุ่มทำงานฟอสเฟตโมโนเมอร์ในการยึดเซอร์โคเนียเซรามิกส์<sup>(14,16,17,34)</sup> เนื่องจากให้ค่าแรงยึดเฉือนที่สูงกว่าเรซินซีเมนต์ที่ไม่มีกลุ่มทำงานฟอสเฟตและอยู่ในเกณฑ์ที่ยอมรับได้ทางคลินิก คือ อยู่ระหว่าง 10 -13 เมกะบานาสเคลล<sup>(35)</sup> เรซินซีเมนต์ที่ใช้ในการศึกษาครั้งนี้คือเรซินซีเมนต์พานาเวีย-ເຄົບສອງຈຸດສູນຍີແລະຮູໄລເອກຂໍ້ຢູ່ຮ້ອຍເປັນຫຼິດທີ່ມີຝົກຟັບ

ประกอบด้วยบิสໂພລີເອທອກຊື່ເລຕເວັບ (bispolyethoxylated resin) ปริมาณຮ້ອຍລະ 78 ໂດຍນໍານັກ ໂດຍມີກຸລຸມ ทำงานຄື່ອ ເອັມດີພີ (MDP:10-methacryloyloxydecyldihydrogen phosphate)<sup>(36)</sup> ສ່ວນຮູໄລເອກຂໍ້ຢູ່ຮ້ອຍ ประກອບດ້ວຍເມທາຄຣ້ຢາລັດໂມໂນເມອຣ໌ທີ່ມີກຸລຸມ ทำงาน ເປັນກົດຟອສົມົກ (methacrylate monomers containing phosphoric acid groups) ຜຶ້ງກຸລຸມ 个工作 h<sup>2</sup> ສອງຕ້ວນີ້ມີຄວາມແຕກຕ່າງກັນ ຈາກພລກາຮັກສິນໍ້ພບວ່າ ເຊົ່ອຮົມເນີຍເສຣາມົກສີທີ່ໄມ້ໄດ້ເຕີຣີມພື້ນຜົນທັງກຸລຸມທີ່ແໜ້ນໜ້າ 24 ຊົ່ວໂມງ ແລະ ກຸລຸມທີ່ຜ່ານເທອຣ໌ໄຊຄລິງ ກາຮໃຊ້ເວັບ ປີເມນຕີຮູໄລເອກຂໍ້ຢູ່ຮ້ອຍໃຫ້ຄ່າເນັ້ນລື່ຍກຳລັງແຮງຍືດເຈືອນທີ່ຕໍ່າ ກວ່າເວັບ ປີເມນຕີພານາເວີຍເຄົບສອງຈຸດສູນຍີຍ່າງມື້ນຍ ສຳຄັງທາງສົດີ ເນື່ອງຈາກຄ່າກຳລັງແຮງດັດ (flexural strength) ຂອງເວັບ ປີເມນຕີ ຂາດແລະ ປົມານຂອງວັສດຸ ອັດແທຣກໃນເວັບ ປີເມນຕີສົ່ງຜລດຕ່ອຄ່າແຮງຍືດຕິດ ໂດຍວັສດຸ ອັດແທຣກທີ່ມີຂາດໃໝ່ຈ່າໄປໜັດຂວາງໄມ້ໄທ້ເວັບມາທິກົງ ແທຣກໜຶ່ມເຂົ້າໄປໃນພື້ນຜົນທີ່ຂຽວຮະ ທຳໄ້ຄ່າແຮງຍືດຕິດລົດ ລົງ<sup>(38)</sup> ແລະ ເວັບ ປີເມນຕີທີ່ມີປົມານວັສດຸອັດແທຣກນໍອຍມັກ ດູດນໍາມາກວ່າເວັບ ປີເມນຕີທີ່ມີປົມານວັສດຸອັດແທຣກສູງ ສົ່ງຜລດໃຫ້ເກີດກາຮສລາຍຕົວຂອງເວັບ ປີເມນຕີ ທຳໄ້ຄ່າແຮງຍືດຕິດລົດ<sup>(39)</sup> ຈາກກາຮສິກຳນີ້ເນື່ອເປົ້າບ່ອນການ ຂອງວັສດຸອັດແທຣກໃນເວັບ ປີເມນຕີທັງສອງໜີດ ພບວ່າເວັບ ປີເມນຕີຮູໄລເອກຂໍ້ຢູ່ຮ້ອຍມີຂາດຂອງວັສດຸອັດແທຣກໂດຍເນື່ອຍ 12.5 ໄນໂຄຣມ່ຕຣະມະມີປົມານວັສດຸອັດແທຣກຮ້ອຍລະ 70 ໂດຍນໍານັກ<sup>(40)</sup> ເວັບ ປີເມນຕີພານາເວີຍເຄົບສອງຈຸດສູນຍີ ມີຂາດຂອງວັສດຸອັດແທຣກຮ້ອຍຫວ່າ 0.04 ລຶ່ງ 0.9 ໄນໂຄຣມ່ຕຣະມະມີປົມານວັສດຸອັດແທຣກຮ້ອຍລະ 73 ໂດຍນໍານັກ<sup>(36)</sup> ຂາດຂອງວັສດຸອັດແທຣກທີ່ໃໝ່ຢູ່ຂອງເວັບ ປີເມນຕີຮູໄລເອກຂໍ້ຢູ່ຮ້ອຍ ຈາກໄປໜັດຂວາງກາຮແທຣກໜຶ່ມຂອງເວັບມາທິກົງຮ້ອຍ ກັນມີປົມານວັສດຸອັດແທຣກນໍອຍ ທຳໄ້ດູດນໍາສູງເກີດກາຮສລາຍ (degradation) ຂອງຕົວເວັບ ປີເມນຕີ ສົ່ງຜລດໃຫ້ຄ່າ ເນັ້ນລື່ຍກຳລັງແຮງຍືດເຈືອນທີ່ໄດ້ຕໍ່າກວ່າເວັບ ປີເມນຕີພານາເວີຍເຄົບສອງຈຸດສູນຍີ ສຳຫັບຄ່າເນັ້ນລື່ຍກຳລັງແຮງຍືດເຈືອນ ຮັງທັງເທອຣ໌ໄຊຄລິງເນື່ອເປົ້າບ່ອນການແໜ້ນໜ້າ 24 ຊົ່ວໂມງ ໄນວ່າຈະເປັນເວັບ ປີເມນຕີພານາເວີຍເຄົບສອງຈຸດສູນຍີ ຜົນຮູໄລເອກຂໍ້ຢູ່ຮ້ອຍກີໃຫ້ຄ່າທີ່ລົດລົງຍ່າງມື້ນຍ ສຳຄັງທາງສົດີ ເນື່ອງຈາກເກີດກາຮສລາຍຂອງຕົວເວັບ ປີເມນຕີໂອງ<sup>(41)</sup> ຜົນຮູໄລເອກຂໍ້ຢູ່ຮ້ອຍ (plasticization effect) ຂອງ

เรซินเมทริกซ์เมื่อมีน้ำเข้าแทรก โดยน้ำที่มีขนาดไม่เล็กน้อยสามารถแทรกซึมเข้าไปในช่องว่างอิสระระดับนาโน (nano-size free-volume space) ระหว่างสายโพลีเมอร์ หรือเข้าไปแทรกรอบๆ กลุ่มทำงานที่ทำให้เกิดพันธะไฮโดรเจน ส่งผลให้ความเสถียรต่ออุณหภูมิ (thermal stability) ลดลง<sup>(42-44)</sup> เกิดการเปลี่ยนแปลงคุณสมบัติทางกายภาพ (mechanical properties) ของเรซินชีเมนต์<sup>(45)</sup> นอกจากนี้เมื่อมีการดูดซึมน้ำ (water sorption) ผลให้เกิดการย่อ缩slayโดยน้ำและอุณหภูมิ (hydrothermal degradation) ซึ่งเกิดจากขบวนการเทอร์โมไชคลิง ทำให้ชั้นเรซินชีเมนต์เกิดการอ่อนตัวลง และมีการกระจายแรงบริเวณรอยต่อ (interface) ระหว่าง เรซินชีเมนต์และพื้นผิวของเซอร์โคเนียเซรามิกส์เปลี่ยน แปลงไป แม้มีแรงมากจะทำเพียงเล็กน้อยก็ทำให้เกิดการหลุดได้<sup>(39,41)</sup> ซึ่งสอดคล้องกับรูปจากการกล้องจุลทรรศน์ อิเล็กตรอนแบบส่องกลางว่าหลังการผ่านเทอร์โมไชคลิง จะพบลักษณะการแตกหักเป็นแบบรวมที่มากขึ้น

นอกจากการเลือกใช้เรซินชีเมนต์ที่เหมาะสมแล้ว การยึดติดที่ดีจะเกิดขึ้นได้ต้องมีการเตรียมพื้นผิวของตัวเซรามิกส์ด้วย เซอร์โคเนียเซรามิกส์ที่ไม่มีการเตรียมพื้นผิวได้ เลยจะมีความเชื่อมต่อ (inert) มีพลังงานพื้นผิวและการไหลดแพร่ต่ำ<sup>(46,47)</sup> สำหรับการใช้เมทัลแอดไฮดีฟิไฟรเมอร์ จากการทดลองนี้ กลุ่มที่เตรียมพื้นผิวด้วยเมทัลแอดไฮดีฟิไฟรเมอร์ให้ค่าเฉลี่ยแรงยึดเฉือนที่สูงกว่ากลุ่มที่ไม่มีการเตรียมพื้นผิวในกรณีแรกน้ำ 24 ชั่วโมงและกลุ่มที่ผ่านการเทอร์โมไชคลิง ผลกระทบลักษณะการหลุดของเรซินชีเมนต์กับพื้นผิวเซอร์โคเนียเซรามิกส์ที่มีการเตรียมพื้นผิวด้วยเมทัลแอดไฮดีฟิไฟรเมอร์ พบร่วงลักษณะการหลุดบางส่วนเป็นแบบผสม ไม่เป็นแบบแอดไฮดีฟิฟหั้งหมัดดังที่พบในกลุ่มที่ไม่ได้เตรียมพื้นผิวได้ แสดงว่าเมทัลแอดไฮดีฟิไฟรเมอร์มีส่วนช่วยเพิ่มการยึดติดของเรซินชีเมนต์ กับพื้นผิวเซอร์โคเนียเซรามิกส์ โดยเมทัลแอดไฮดีฟิไฟรเมอร์ ชนิดอัลลอยด์ไฟรเมอร์ให้ค่าเฉลี่ยแรงยึดเฉือนที่สูงกว่ากลุ่มที่ใช้เมทัลเซอร์โคเนียไฟรเมอร์อย่างมีนัยสำคัญ ทางสถิติ เนื่องจากความต้านทานต่อการโพลีเมอร์ไฮโดรเจน สามารถยึดติดโดยตรงได้กับเซอร์โคเนียมของไฮดรอกซิลและเกิดพันธะทางเคมีที่ต้านทานต่อการถูกน้ำได้ (water-resistant bond)<sup>(16)</sup> ต่างจากเมทัลเซอร์โคเนียไฟร-

เมอร์ ที่มีกลุ่มทำงานที่เกิดพันธะทางเคมีกับเซอร์โคเนียมออกไซด์ แต่ก็เป็นพันธะที่ไม่คงทนและมีลักษณะที่ชอบน้ำ (hydrophilic) สอดคล้องกับการศึกษาของ Yang และคณะ<sup>(48)</sup> เปรียบเทียบค่าเฉลี่ยแรงยึดติดระหว่างการเตรียมพื้นผิวเซอร์โคเนียเซรามิกส์ด้วยเมทัลแอดไฮดีฟิไฟรเมอร์ 3 ชนิด (เมทัลเซอร์โคเนียไฟรเมอร์ อัลลอยด์ไฟรเมอร์และเคลือบฟิลเซรามิกส์ไฟรเมอร์ (Clearfil Ceramic Primer®, Kuraray, Japan) และกลุ่มควบคุมที่ไม่มีการเตรียมพื้นผิวได้ หลังแช่น้ำ 3 วัน และ 150 วัน พบว่าหลังแช่น้ำ 150 วัน กลุ่มที่ใช้อัลลอยด์ไฟรเมอร์และเคลือบฟิลเซรามิกส์ไฟรเมอร์ให้ค่าเฉลี่ยแรงยึดติดสูงกว่ากลุ่มที่ไม่เตรียมพื้นผิวและกลุ่มเมทัลเซอร์โคเนียไฟรเมอร์อย่างมีนัยสำคัญทางสถิติ มีหลายการศึกษากล่าวว่าเอ็มดีพีสามารถยึดติดโดยตรงได้กับออกไซด์ของโลหะ ได้แก่ โครเมียม (chromium) nickel อลูมิเนียม ไทเทเนียม (titanium) และเซอร์โคเนียม<sup>(49)</sup> การยึดติดทางเคมีระหว่างเอ็มดีพีกับเซอร์โคเนียเซรามิกส์อาจมาจากการเกิดพันธะไฮโดรเจนระหว่างกลุ่มไฮดรอกซิล (hydroxyl) ในเอ็มดีพีและกลุ่มไฮดรอกซิลที่พื้นผิวเซอร์โคเนียเซรามิกส์<sup>(50)</sup>

ส่วนประกอบของอัลลอยด์ไฟรเมอร์นอกจากประกอบด้วยเอ็มดีพียังมีวีบีเอทีดีที (VBTDT = VTD: 6-(4-vinylbenzyl-n-propyl)amino-1,3,5-triazine2,4-dithione) มีรายงานว่า วีบีเอทีดีทีอาจจะยับยั้งการเกิดโพลีเมอร์ไรซีนของเรซินชีเมนต์ที่ประกอบด้วยเบนโซิลเปอร์ออกไซด์อะมีน (benzoyl peroxide-amine initiator system) เช่น พานาเรียสิบเอ็ด (Panavia® 21, Kuraray, Japan) และพานาเรียสิบสองจุดศูนย์<sup>(51,52)</sup> ส่งผลให้ค่าแรงยึดติดไม่ดี สอดคล้องกับการศึกษาของ Yun และคณะ<sup>(53)</sup> ที่พบว่ากลุ่มที่ใช้เมทัลแอดไฮดีฟิไฟรเมอร์ที่มีเพียงวีบีเอทีดีอย่างเดียวให้ค่าแรงยึดติดที่ต่ำกว่ากลุ่มที่ใช้ไฟรเมอร์ที่มีเอ็มดีพีเป็นส่วนประกอบ จากการศึกษาระบบนี้พบว่าการแตกหักที่เกิดขึ้นในกลุ่มที่ใช้อัลลอยด์ไฟรเมอร์มักเป็นแบบแอดไฮดีฟิฟมีแบบผสมบ้างเล็กน้อย แสดงว่าวีบีเอทีดีทีอาจมีผลต่อการโพลีเมอร์ไรซีนของเรซินชีเมนต์เพียงเล็กน้อย เพราการแตกหักที่เกิดส่วนใหญ่เป็นแบบแอดไฮดีฟ แสดงว่าจุดอ่อนไม่ได้อยู่ที่ตัวเรซินชีเมนต์ การที่เรซินชีเมนต์และอัลลอยด์ไฟรเมอร์มี

ส่วนผสมของเอ็มดีพีเป็นส่วนสำคัญทำให้แรงยึดติดกับเซอร์โคเนียเซรามิกส์ดีขึ้น เนื่นได้ว่าค่าเฉลี่ยกำลังแรงยึดเฉือนในกลุ่มอัลลอยด์ไฟรเมอร์สูงกว่ากลุ่มอื่นๆ อย่างมีนัยสำคัญทางสถิติ จึงอาจสรุปได้ว่าบีเพอทีดีที่เพียงอย่างเดียวไม่ช่วยให้ค่าแรงยึดติดดีขึ้น แต่ถ้ามีทั้งเอ็มดีพีและวีบีเพอทีดีที่ค่าแรงยึดติดที่ได้สูงขึ้น สอดคล้องกับการศึกษาของ de Souza และคณะ<sup>(54)</sup>

เอ็มดีพีที่มีในพานาเรียເອີຟສອງຈຸດສູນຍົມແລະອັລລອຍດໍ-ໄໄພຣມອຣນັ້ນປະກອບດ້ວຍ 3 ອົງຄົປະກອບທີ່ທ່ານແຕກຕ່າງກັນ ດືອ ເມຕ້າຄະຍໂລອິລ (methacryloyl) ກລຸມເດືອຊີລ ທີ່ອັລຄືລ (decyl or alkyl groups) ແລະ ກລຸມໄດ-ໄໂໂໂຣຈັນ ພົສເຟເຕ (dihydrogen phosphate)<sup>(55)</sup> ເມຕ້າຄະຍໂລອິລເປັນສິ່ງຈຳເປັນທີ່ໃຫ້ເກີດໄພລີເມອຣີໄຣເຊັ່ນຮ່ວມກັນຮະຫວ່າງເອົມດີພິໂມໂນເມອຣັກບເຮັນມີທີ່ຂອງເຮັນ-ຊືມເນັດ ໄດ້ໄໂໂຣຈັນພົສເຟເຕເປັນສ່ວນທີ່ທຳໃຫ້ເກີດພັນຮະທາງເຄີມກັບອາໄຫດໍຂອງໂລໜະ ແລະ ກລຸມເດືອຊີລຊື່ເປັນກລຸມໄນ່ຂອບນໍ້າຈະເປັນຕົວປົ້ອງກັນການແທກຂຶ້ມຂອງນໍ້າບີເວັນຮອຍຕ່ອ (adhesive interface) ລັດການເກີດໄໂໂຣໄລຊີສ ທີ່ອີເກີດຂ້າລັງ ສອດຄົລ້ອງກັບພລກາຮັກສິກັນທີ່ພບວ່າ ກລຸມທີ່ເຕີຍມີຜົນຜົວເຊົ່ວໂຣໂຄນີ່ເຊົ່ວມີກົດສໍາກັນທີ່ໃຫ້ກົດໄພຣີເມອຣີໄຣເຊັ່ນຮ່ວມກັນຮະຫວ່າງເຮັນ-ຊືມເນັດໄພຣີເມອຣັກບເຮັນມີທີ່ຂອງເຮັນ-ຊືມເນັດ ໄດ້ໄໂໂຣຈັນພົສເຟເຕເປັນສ່ວນທີ່ທຳໃຫ້ເກີດພັນຮະທາງເຄີມກັບອາໄຫດໍຂອງໂລໜະ

ເມທັລເຊົ່ວໂຣໂຄນີ່ໄພຣີເມອຣີປະກອບດ້ວຍສ່ວນຫຼັກາ ດືອ ກຣດຝົກສິໂຟນິກ (phosphonic acid : -P(=O)(OH)<sub>2</sub>) ກຣດຝົກສິໂຟນິກມີປະສິທິທີກາພທຳໃຫ້ຄ່າກຳລັງແຮງຍົດເຊືອນຮະຫວ່າງເຮັນ-ຊືມເນັດແລະເຊົ່ວໂຣໂຄນີ່ເຊົ່ວມີກົດສໍາກັນທີ່ໃຫ້ກົດໄພຣີເມອຣີໄຣເຊັ່ນຮ່ວມກັນຮະຫວ່າງເຮັນ-ຊືມເນັດແລະເຊົ່ວໂຣໂຄນີ່ເຊົ່ວມີກົດສໍາກັນທີ່ໃຫ້ກົດໄພຣີເມອຣີໄຣເຊັ່ນຮ່ວມກັນຮະຫວ່າງເຮັນ-ຊືມເນັດ ໄດ້ໄໂໂຣຈັນພົສເຟເຕເປັນສ່ວນທີ່ທຳໃຫ້ເກີດພັນຮະທາງເຄີມກັບອາໄຫດໍຂອງໂລໜະ<sup>(56)</sup>

ກລຸມທີ່ເຕີຍມີຜົນຜົວດ້ວຍເມທັລເຊົ່ວໂຣໂຄນີ່ໄພຣີເມອຣີໃຫ້ຄ່າເຂົ່າຍົດກຳລັງແຮງຍົດເຊືອນທີ່ຕ່າງກຳລຸມທີ່ໃຫ້ອັລລອຍດໍໄພຣີ ອາຈານີ່ຈາກກຳລຸມທີ່ມີກວາມເປັນກຣດໃນເມທັລ-ເຊົ່ວໂຣໂຄນີ່ໄພຣີທຳມີປົງປົງຢັງໃຫ້ເອົ່າມືນ (tertiary amine) ທີ່ເປັນຕົວເອົ່າມືນປົງປົງຢັງໃຫ້ເອົ່າມືນ (initiator) ໃນເຮັນ-ຊືມເນັດ ເກີດຕະກອນສື່ເໜື່ອງ (yellowish salts) ໄປຢັບຢັງປົງປົງຢັງໃຫ້ເອົ່າມືນປົງປົງຢັງໃຫ້ເອົ່າມືນທີ່ໄດ້<sup>(57)</sup> ທຳໃຫ້ພັບ

ຈ່າກພາຈາກກຳລັ້ອງຈຸລທຽບນີ້ເລີກຕຽນແບບສ່ອງກາດຂອງກລຸມທີ່ໃຫ້ເມທັລເຊົ່ວໂຣໂຄນີ່ໄພຣີເມອຣີມີກາຮລຸດຂອງຊື່ເມັນຕົ້ນແບບຮາມນາກກ່າວກລຸມທີ່ໄມ້ໄດ້ເຕີຍມີຜົນຜົວດ້ານ

ປັຈຸຍສໍາຄັນທີ່ທຳໃຫ້ຄວາມສາມາດໃນກາຍົດຕິດຂອງໄພຣີເມອຣີແຕ່ລະຄົນດແຕກຕ່າງກັນຂຶ້ນອູ່ກັບຄວາມແຕກຕ່າງຂອງໂຄຮງສ້າງທາງເຄມີ ທີ່ສົ່ງຜົດຕ່ອງຄວາມເປັນຂ້າວຂອງໂມໂນເມອຣີ໌ນິດນັ້ນໆ ໂດຍກຣດຝົກສິໂຟນິກມີລັກຜະນະທີ່ເປັນຂ້າວແລະຂອບນໍ້າ ອາຈຸດນໍ້າແມ່ເກີດໄພລີເມອຣີໄຣເຊັ່ນໄປແລ້ວ ສົ່ງຜົດໃຫ້ຄ່າກຳລັງແຮງຍົດຕິດລດລົງໄດ້ ທີ່ສົ່ງແຕກຕ່າງຈາກອັລລອຍດໍໄພຣີເມອຣີທີ່ມີກລຸມສປັບເຊົ່ວ (spacer group) ເປັນສາຍຄົວນອນທີ່ອື່ມຕ່ວາ (saturated carbon chain) ໄນມີຂ້າແລະໄນ່ຂອບນໍ້າ ສ່ວນນີ້ເອັນເປັນຕົກນໍໄມ້ໃໝ່ໄມ້ເລຸດນໍ້າເຂົ້າໄປຮ່ວ່າງພັນຮະທີ່ເກີດຂຶ້ນແລະຍັບຢັງການເກີດປົງປົງຢັງໄໂໂຣໄລຊີສ ໄດ້<sup>(58)</sup>

## บทสรุป

ຈາກຂອບເຂດການສຶກັນໃນຄວັງນີ້ສົ່ງໄປໄດ້ວ່າ ເຊົ່ວໂຣໂຄນີ່ເຊົ່ວມີກົດສໍາກັນທີ່ໄມ້ມີກາຮເຕີຍມີຜົນຜົວດ້ານ ໃຫ້ຄ່າເຂົ່າຍົດກຳລັງແຮງຍົດເຊືອນທີ່ຕ່າງທີ່ສຸດທັງໜັງແຊ່ນນໍ້າ 24 ຂ້າມີແລະ ຮັງເຫຼວໂນໄຫະຄົລິງ ເຊົ່ວໂຣໂຄນີ່ເຊົ່ວມີກົດສໍາກັນທີ່ຍືດຕ້ວາ ເຮັນ-ຊືມເນັດພານາເຮົ່ວໂພສອງຈຸດສູນຍົມໂດຍທີ່ໄປມີຄ່າເຂົ່າຍົດກຳລັງແຮງຍົດເຊືອນທີ່ດີກຳວ່າໄລເອກະຍຸວ່ອຍ

ການໃຫ້ເມທັລແອດຢືື້ຟໄພຣີເມອຣີມີສ່ວນຂ່າຍເພີມກາຍົດຕິດຮ່ວ່າງເຮັນ-ຊືມເນັດກັບເຊົ່ວໂຣໂຄນີ່ເຊົ່ວມີກົດສໍາກັນ ໄດ້ໄໂໂຣຈັນພົສເຟເຕ ເມທັລແອດຢືື້ຟໄພຣີເມອຣີ ຄວາມໜື້ນແລະການປັບປຸງ ແປ່ງອຸນຫຼວມ ມີຜລທຳໃຫ້ຄ່າເຂົ່າຍົດກຳລັງແຮງຍົດເຊືອນລົດລົງ

ກາຍົດຕິດທີ່ດີຈະເກີດຂຶ້ນໄດ້ຂຶ້ນອູ່ກັບກາລືອກໜິດຂອງເມທັລແອດຢືື້ຟໄພຣີແລະເຮັນ-ຊືມເນັດທີ່ເໝາະສົມກັບເຊົ່ວໂຣໂຄນີ່ເຊົ່ວມີກົດສໍາກັນ ເມທັລແອດຢືື້ຟໄພຣີໃນການສຶກັນມີປະສິທິທີກາພທຳໃຫ້ເກີດກາຍົດຕິດທີ່ດີແລະຄົງທນຮະຫວ່າງໜັກອາໄຫດໍຂອງໂລໜະບົນພື້ນຜົວຂອງເຊົ່ວໂຣໂຄນີ່ເຊົ່ວມີກົດສໍາກັນກັບເຮັນ-ຊືມເນັດ

## กิตติกรรมປະກາດ

ການສຶກັນຄວັງນີ້ໄດ້ຮັບຖຸນສັນບສຸນກາວວິຈັດຈາກຄະທັນຕແພທຍສາສຕ່ງ ມහაວິທະຍາລ້ຽນເຊົ່າຍິນໃໝ່ ຂອຂອບຄຸນ

อาจารย์ทันตแพทย์เพพรัตน์ เขมาลีลากุล ที่ได้กรุณาแนะนำการใช้เครื่องทดสอบภาคลูนิดอินสตรอน ขอขอบคุณบริษัท 3M ESPE, Acteon และ Unity ที่ให้ความอนุเคราะห์สุดทางส่วนเพื่อทำการศึกษา ขอขอบคุณคณะวิทยาศาสตร์ มหาวิทยาลัยเชียงใหม่ ที่เอื้อเฟื้อสถานที่และให้ความอนุเคราะห์ในการใช้งานกล้องจุลทรรศน์อิเล็กตรอนแบบส่องกราด

### เอกสารอ้างอิง

1. Dérand P, Dérand T. Bond strength of luting cements to zirconium oxide ceramics. *Int J Prosthodont* 2000; 13: 131-135.
2. Wolfart M, Lehmann F, Wolfart S, Kern M. Durability of the resin bond strength to zirconia ceramic after using different surface conditioning methods. *Dent Mater* 2007; 23: 45-50.
3. Ernst CP, Cohnen U, Stender E, Willershausen B. In vitro retentive strength of zirconium oxide ceramic crowns using different luting agents. *J Prosthet Dent* 2005; 93: 551-558.
4. Nakamura S, Yoshida K, Kamada K, Atsuta M. Bonding between resin luting cement and glass infiltrated alumina-reinforced ceramics with silane coupling agent. *J Oral Rehabil* 2004; 31: 785-789.
5. Valandro LF, Leite FP, Scotti R, Bottino MA, Neisser MP. Effect of ceramic surface treatment on the microtensile bond strength between a resin cement and an alumina-based ceramic. *J Adhes Dent* 2004; 6: 327-332.
6. Bottino MA, Valandro LF, Scotti R, Buso L. Effect of surface treatments on the resin bond to zirconium-based ceramic. *Int J Prosthodont* 2005; 18: 60-65.
7. Jardel V, Degrange M, Picard B, Derrien G. Correlation of topography to bond strength of etched ceramic. *Int J Prosthodont* 1999; 12: 59-64.
8. Söderholm KJ, Shang SW. Molecular orientation of silane at the surface of colloidal silica. *J Dent Res* 1993; 72: 1050-1054.
9. Della Bona A, Anusavice KJ, Shen C. Microtensile strength of composite bonded to hot-pressed ceramics. *J Adhes Dent* 2000; 2: 305-313.
10. Debnath S, Wundera SL, McCool JI, Baran GR. Silane treatment effects on glass/resin interfacial shear strengths. *Dent Mater* 2003; 19: 441-448.
11. Madani M, Chu FC, McDonald AV, Smale RJ. Effects of surface treatments on shear bond strengths between a resin cement and an alumina core. *J Prosthet Dent* 2000; 83: 644-647.
12. Özcan M, Alkumru HN, Gemalmaz D. The effect of surface treatment on the shear bond strength of luting cement to a glass-infiltrated alumina ceramic. *Int J Prosthodont* 2001; 14: 335-339.
13. Qualtrough AJ, Piddock V. Dental ceramics: what's new? *Dent Update* 2002; 29: 25-33.
14. Pilathadka S, Vahalova D. Contemporary all-ceramic systems, Part-2. *Acta Medica* 2007; 50: 105-107.
15. Kelly JR. Dental Ceramics: current thinking and trends. *Dent Clin North Am* 2004; 48: 513-530.
16. Kern M, Wegner SM. Bonding to zirconia ceramic: adhesion methods and their durability. *Dent Mater* 1998; 14: 64-71.
17. Wegner SM, Kern M. Long-term resin bond strength to zirconia ceramic. *J Adhes Dent* 2000; 2: 139-147.
18. Wegner SM, Gerdes W, Kern M. Effect of different artificial aging conditions on ceramic-composite bond strength. *Int J Prosthodont* 2002; 15: 267-272.

19. Özcan, M. The use of chairside silica coating for different dental applications: a clinical report. *J Prosthet Dent* 2002; 87: 469-472.
20. Piwowarczyk A, Lauer HC, Sorensen JA. The shear bond strength between luting cements and zirconia ceramics after two pre-treatments. *Oper Dent* 2005; 30: 382-388.
21. Tsuo Y, Yoshida K, Atsuta M. Effects of alumina-blasting and adhesive primers on bonding between resin luting agent and zirconia ceramics. *Dent Mater* 2006 ; 25: 669-674.
22. Sirimongkolwattana S. Metal adhesive primer. *CM Dent J* 2005; 26: 73-82.
23. Yoshida K, Taira Y, Matsumura H, Atsuta M. Effect of adhesive primers on bonding a prosthetic composite resin to metals. *J Prosthet Dent* 1993; 69: 357-362.
24. Matsumura H, Shimoe S, Nagano K, Atsuta M. Effect of noble metal conditioners on bonding between prosthetic composite material and silver-palladium-copper-gold alloy. *J Prosthet Dent* 1999 ; 81: 710-714.
25. Sarafianou A, Seimenis I, Papadopoulos T. Effectiveness of different adhesive primers on the bond strength between an indirect composite resin and a base metal alloy. *J Prosthet Dent* 2008; 99: 377-387.
26. Watanabe I, Matsumura H, Atsuta M. Effect of two metal primers on adhesive bonding with type IV gold alloys. *J Prosthet Dent* 1995; 73: 299-303.
27. Silikas N, Wincott PL, Vaughan D, Watts DC, Eliades G. Surface characterization of precious alloys treated with thione metal primers. *Dent Mater* 2007; 23: 665-673.
28. Lindgren J, Smeds J, Sjögren G. Effect of surface treatments and aging in water on bond strength to zirconia. *Oper Dent* 2008; 33: 675-681.
29. Yoshida K, Atsuta M. Effects of adhesive primers for noble metals on shear bond strengths of resin cements. *J Dent* 1997; 25: 53-58.
30. Yanagida H, Matsumura H, Taira Y, Atsuta M, Shimoe S. Adhesive bonding of composite material to cast titanium with varying surface preparations. *J Oral Rehabil* 2002; 29: 121-126.
31. Yoshida K, Tsuo Y, Atsuta M. Bonding of dual-cured resin cement to zirconia ceramic using phosphate acid ester monomer and zirconate coupler. *J Biomed Mater Res part B: Appl Biomater* 2006; 77: 28-33.
32. Edelhoff D, Özcan M. To what extent does the longevity of fixed dental prostheses depend on the function of the cement? Working group 4 materials: cementation. *Clin Oral Implants Res* 2007; 18: 193-204.
33. Burke FJ, Fleming GJ, Nathanson D, Marquis PM. Are adhesive technologies needed to support ceramics? An assessment of the current evidence. *J Adhes Dent* 2002; 4: 7-22.
34. Blatz MB, Sadan A, Martin J, Lang B. In vitro evaluation of shear bond strengths of resin to densely-sintered high-purity zirconium-oxide ceramic after long-term storage and thermal cycling. *J Prosthet Dent* 2004; 91: 356-362.
35. Thurmond JW, Barkmeier WW, Wildwerding TM. Effect of porcelain surface treatments on bond strengths of composite resin bonded to porcelain. *J Prosthet Dent* 1994; 72: 355-359.
36. Kuraray Co., Ltd. *Panavia Technical Information*. Report No. US089, Osaka, Japan; 1999.
37. De Munck J, Vargas M, Van Landuyt K, Hikita K, Lambrechts P, Van Meerbeek B. Bonding of an auto-adhesive luting materials to enamel and dentin. *Dent Mater* 2004; 20: 963-971.

38. Phark JH, Duarte S Jr, Blatz M, Sadan A. An in vitro evaluation of the long-term resin bond to a new densely sintered high-purity zirconium-oxide ceramic surface. *J Prosthet Dent* 2009; 101: 29-38.
39. Mese A, Burrow MF, Tyas MJ. Sorption and solubility of luting cements in different solutions. *Dent Mater* 2008; 27: 702-709.
40. Technical product profile Rely X™ Unicem. Available from URL <http://multimedia.mmm.com/mws/mediawebserver.dyn?6666660Zjcf6IVs6EVs666iFPCOrrrQ-> (2007, March)
41. Söderholm KJ, Roberts MJ. Influence of water exposure on the tensile strength of composites. *J Dent Res* 1990; 69: 1812-1816.
42. Blatz MB, Sadan A, Kern M. Resin-ceramic bonding: a review of the literature. *J Prosthet Dent* 2003; 89: 268-274.
43. Mair LH. Surface permeability and degradation of dental composites resulting from oral temperature changes. *Dent Mater* 1989; 5: 247-255.
44. Musto P, Ragosta G, Scarinza G, Mascia L. Probing the molecular interactions in the diffusion of water through epoxy and epoxy-bismaleimide networks. *J Polym Sci Part B: Polym Phys* 2002; 40: 922-938.
45. Indrani DJ, Cook WD, Televantos F, Tyas MJ, Harcourt JK. Fracture toughness of water-aged resin composite restorative materials. *Dent Mater* 1995; 11: 201-207.
46. Özcan M, Vallittu PK. Effect of surface conditioning methods on the bond strength of luting cement to ceramics. *Dent Mater* 2003; 19: 725-731.
47. Matinlinna JP, Lassila LV, Vallittu PK. Pilot evaluation of resin composite cement adhesion to zirconia using a novel silane system. *Act Odontol Scand* 2007; 65: 44-51.
48. Yang B, Barloi A, Kern M. Influence of air-abrasion on zirconia ceramic bonding using an adhesive composite resin. *Dent Mater* 2010; 26: 44-50.
49. Polat ZS, Tacir IH, Eskimez S, Celik MY. Retentive force of three fiber-reinforced resin composite posts and a zirconia post cemented with two adhesive luting agents: in vitro study. *Dent Mater J* 2007; 26: 672-676.
50. Yoshida K, Tsuo Y, Atsuta M. Bonding of dual-cured resin cement to zirconia ceramic using phosphate acid ester monomer and zirconate coupler. *J Biomed Mater Res part B: Appl Biomater* 2006; 77: 28-33.
51. Kern M, Thompson VP. Durability of resin bonds to pure titanium. *J Prosthodont* 1995; 4: 16-22.
52. Koizumi H, Furuchi M, Tanoue N, Yanagida H, Yoneyama T, Matsumura H. Bond strength to primed Ti-6Al-7Nb alloy of two acrylic resin adhesives. *Dent Mater J* 2006; 25: 286-290.
53. Yun JY, Ha SR, Lee JB, Kim SH. Effect of sandblasting and various metal primers on the shear bond strength of resin cement to Y-TZP ceramic. *Dent Mater* 2010; 26: 650-658.
54. de Souza GM, Silva NR, Paulillo LA, De Goes MF, Rekow ED, Thompson VP. Bond strength to high-crystalline content zirconia after different surface treatments. *J Biomed Mater Res part B: Appl Biomater* 2010; 93: 318-323.
55. Taira Y, Yanagida H, Matsumura H, Yoshida K, Atsuta M, Suzuki S. Adhesive bonding of titanium with a thione-phosphate dual functional primer and self-curing luting agents. *Eur J Oral Sci* 2000; 108: 456-460.
56. Ikemura K, Endo T. A review of our development of dental adhesives - effects of radical polymerization initiators and adhesive

- monomers on adhesion. *Dent Mater J* 2010; 29: 109-121.
57. Ikemura K, Tay FR, Nishiyama N, Pashley DH, Endo T. Design of new phosphonic acid monomers for dental adhesives - synthesis of (meth) acryloxyalkyl 3-phosphonopropionates and evaluation of their adhesion-promoting functions. *Dent Mater* 2006; 25: 566-575.
58. Van Landuyt KL, Yoshida Y, Hirata I, Snauwaert J, De Munck J, Okazaki M, Suzuki K, Lambrechts P, Van Meerbeek B. Influence of the chemical structure of functional monomers on their adhesive performance. *J Dent Res* 2008; 87: 757-761.